

ความด้านท่านแห่งเด่นในเรื่องของข้าราชการตอนกรีฑาเริ่มเหลือกที่ประศาสดากความเนี้ยง

นายภัทรรยา



สถาบันวิทยบริการ

วิทยานิพนธ์นี้เป็นส่วนหนึ่งของการศึกษาตามหลักสูตรปฏิญญาวิศวกรรมศาสตร์บัณฑิต

สาขาวิชาชีวกรรมโยธา ภาควิชาชีวกรรมโยธา

คณะวิศวกรรมศาสตร์ จุฬาลงกรณ์มหาวิทยาลัย

ปีการศึกษา 2542

ISBN 974-334-547-7

ลิขสิทธิ์ของ จุฬาลงกรณ์มหาวิทยาลัย

SEISMIC RESISTANCE OF NON-DUCTILE REINFORCED CONCRETE BUILDINGS

MR. PATTARAYOOS VAIJUNYA

A Thesis Submitted in Partial Fulfillment of the Requirements
for the Degree of Master of Engineering in Civil Engineering
Department of Civil Engineering

Faculty of Engineering

Chulalongkorn University

Academic Year 1999

ISBN 974-334-547-7

หัวขอวิทยานิพนธ์
โดย
ภาควิชา
อาจารย์ที่ปรึกษา

ความต้านทานแผ่นดินไหวของอาคารคอนกรีตเสริมเหล็กที่ปราศจากความเนื้อเยื่า
นายกัทราภุส ไวยราษ
วิศวกรรมโยธา
ผู้ช่วยศาสตราจารย์ ดร.ทศพล ปันแก้ว

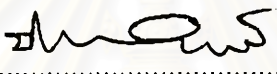
คณะวิศวกรรมศาสตร์ ฯ กำลังกรุณามหาวิทยาลัย อนุมัติให้นับวิทยานิพนธ์ฉบับนี้เป็นส่วนหนึ่งของการศึกษาตามหลักสูตรปฏิญญาณมหาบัณฑิต



คณบดีคณะวิศวกรรมศาสตร์

(ศาสตราจารย์ ดร.สมศักดิ์ ปัญญาแก้ว)

คณะกรรมการสอบบัณฑิต



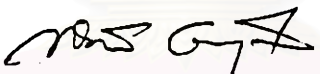
ประธานกรรมการ

(ศาสตราจารย์ ดร.ปริมราน ลักษณะประสีทธิ์)



อาจารย์ที่ปรึกษา

(ผู้ช่วยศาสตราจารย์ ดร.ทศพล ปันแก้ว)



กรรมการ

(ศาสตราจารย์ ดร.ทักษิณ เทพชาติ)

สถาบันวิทยบริการ
จุฬาลงกรณ์มหาวิทยาลัย

ภัทรายุส ไชรรยา : ความต้านทานแผ่นดินไหวของอาคารคอนกรีตเสริมเหล็กที่ปราศจากความเหนียว.
(SEISMIC RESISTANCE OF NON-DUCTILE REINFORCED CONCRETE BUILDINGS) อ. ที่
ปรีกษา : ผู้ช่วยศาสตราจารย์ ดร. ทศพล ปันแก้ว, 134 หน้า. ISBN 974-334-547-7.

แม้กุյงเหพนหานครไม่ออยู่ในบริเวณที่มีโอกาสเกิดแผ่นดินไหวขนาดใหญ่ แต่วัสดุคงทนจากการแผ่นดินไหวจะไม่สามารถอ่อนข้นได้ เมื่อจากผลของการแผ่นดินอ่อนภายในได้กุญหานครซึ่งมีผลในการขยายขนาดคลื่นแผ่นดินไหว จึงควรมีการศึกษาและเตรียมการป้องกันไว้ ในงานวิจัยนี้ได้ศึกษาพฤติกรรมและความเสียหายของอาคารคอนกรีตเสริมเหล็กที่ไม่ได้ออกแบบรับแรงแผ่นดินไหว ภายใต้แผ่นดินไหวระยะไกล และได้ศึกษาพฤติกรรมของอาคารดังกล่าวเมื่อติดตั้งมวลหน่วงปรับค่าใช้ที่ชั้นบน

ในงานวิจัยนี้ศึกษาถูกความสูง 20 ชั้น ออกแบบด้วยวิธีกำลังและไม่คำนึงถึงผลเนื่องจากแผ่นดินไหวอาศัยชั้นกำหนดของ ACI 318-95 เสริมเหล็กต่อเนื่องตลอด ใช้คลื่นแผ่นดินไหว SCT-85 และ BYK-95 กระทำกับอาคารตัวอย่างโดยเปลี่ยนขนาดแรงแผ่นดินไหวเป็นค่าต่างๆ กัน นอกจากนี้ยังได้ศึกษาการปรับปรุงอาคารตัวอย่างดังกล่าวด้วยมวลหน่วงปรับค่าแบบแพลซีฟ (Passive tuned mass damper) เพื่อลดการตอบสนองและความเสียหายของอาคาร ในการวิเคราะห์ความเสียหายของอาคาร ใช้คอมพิวเตอร์โปรแกรม IDARC ซึ่งสามารถวิเคราะห์พฤติกรรมของโครงสร้างในช่วงไม่มีดินญุ่นได้

ผลการศึกษาพบว่าภายใต้แรงดันด้านข้างแบบสถิต อาคารตัวอย่างสามารถด้านหันแรงด้านข้างได้ 11.7% ของน้ำหนักอาคาร ที่การเปลี่ยนตำแหน่งชั้น 20 เท่ากับ 2.1% ของความสูงอาคาร และภายใต้แรงแผ่นดินไหวพบว่าเกิดการคราบขึ้นก่อนในคานและที่แผ่นดินไหวขนาดใหญ่จะมีการคราบเกิดในคานโดยตลอดและเกิดการคราบในเสาและผัง ตามลำดับ และที่แผ่นดินไหวขนาดใหญ่จะมีพฤติกรรมเป็นแบบการตัดเนื่องจากความเสียหายในคานทำให้การยึดตั้งจากโครงสร้างแข็งลดลง สำหรับการติดตั้งมวลหน่วงปรับค่าพบว่าสามารถลดการตอบสนองของอาคารได้ในกรณีแผ่นดินไหวขนาดไม่รุนแรง และประสิทธิภาพจะดีลงเมื่อความเสียหายเพิ่มมากขึ้น ยังเป็นผลเนื่องมาจากความสมบัติด้านพลวัตของอาคารเปลี่ยนแปลงไป มวลหน่วงปรับค่าจึงไม่สามารถทำงานได้

จุฬาลงกรณ์มหาวิทยาลัย

ภาควิชา วิศวกรรมโยธา ลายมือชื่อนักศึกษา ๗๖๗๗๗๗๗๗๗
สาขาวิชา วิศวกรรมโยธา ลายมือชื่ออาจารย์ที่ปรึกษา + + +
ปีการศึกษา 2542

4070369221 : MAJOR CIVIL ENGINEERING

KEY WORD: R/C BUILDING / INELASTIC ANALYSIS / DAMAGE ANALYSIS / TUNED MASS DAMPER

PATTARAYOOS VAIJUNYA : SEISMIC RESISTANCE OF NON-DUCTILE REINFORCED CONCRETE BUILDINGS. THESIS ADVISOR : TOSPOL PINKAEW, Ph.D. 134 pp. ISBN 974-334-547-7.

Although Bangkok Metropolitan is considered to be low in seismicity, but the threat from distant earthquakes cannot be overlooked due to the effect of soil amplification of ground motions caused by soft soil strata underlying Bangkok Metropolitan area. It is, therefore, worth investigating the seismic behavior of tall buildings in the region and seeking for preventive measures against failure of high-rise buildings. This research studies the behavior and damage pattern of a non-ductile reinforced concrete building under distant earthquakes. The behavior and performance of building with a passive tuned mass damper (TMD) installed on the top floor was also examined.

A 20-story reinforced concrete building designed in accordance with the ultimate strength design method (ACI 318-95) for gravity and wind load only was analyzed under the SCT-85 and BYK-95 earthquakes with varying peak ground accelerations. The passive tuned mass damper was modeled as an extra story on the top floor of the building. The IDARC program was employed to perform inelastic analyses of the building, first without tuned mass damper and then with tuned mass damper equipped.

Under the push-over analysis, the building can resist a lateral force equivalent to base shear coefficient of about 11.7% of its weight with the top displacement of 2.1% the building height. The passive tuned mass damper was found to be effective in reducing the building response and building damage only in the case of small ground motions. Its effectiveness was reduced as the damage increased due to detuning caused by the change in dynamic characteristics of the building.

ภาควิชา วิศวกรรมโยธา ลายมือชื่อผู้แต่ง พัฒน์ยุทธ์ ใจดี
สาขาวิชา วิศวกรรมโยธา ลายมือชื่ออาจารย์ที่ปรึกษา ล. ค.
ปีการศึกษา 2542

กิตติกรรมประกาศ



วิทยานิพนธ์ฉบับนี้สำเร็จสิ่งที่ได้ด้วยความช่วยเหลืออย่างดีของผู้ช่วยศาสตราจารย์ ดร.ทศพล ปั่นแก้ว อาจารย์ที่ปรึกษาวิทยานิพนธ์ ซึ่งท่านได้ให้คำแนะนำและชี้คิดเห็น ในการวิจัยมาโดยตลอด นอกจากนี้ผู้วิจัยยังขอขอบพระคุณ ศาสตราจารย์ ดร.ปนิธาน ลักษณะประสิทธิ์ ประธานกรรมการสอบวิทยานิพนธ์ และศาสตราจารย์ ดร.ทักษิณ เทพราตรี กรรมการสอบวิทยานิพนธ์ ที่ได้ให้คำแนะนำและชี้คิดเห็นทางๆ เพื่อให้วิทยานิพนธ์ฉบับนี้สมบูรณ์ยิ่งขึ้น ผู้วิจัยต้องขอขอบคุณสำนักงานกองทุนสนับสนุนงานวิจัย (สกว.) และทางบันทึกวิทยาลัย ฯ ที่ทรงกรุณามหาวิทยาลัย ที่สนับสนุนทางด้านเงินทุนที่ใช้ในงานวิจัย

ผู้วิจัยต้องขอขอบคุณอาจารย์ทุกท่านที่กรุณาอบรมส่งสอนมา และที่สำคัญผู้วิจัยขอขอบคุณคุณพ่อคุณแม่ รวมทั้งญาติที่ช่วยให้กำลังใจและผลักดันจนสามารถเป็นดังวันนี้ได้ บรรดาผองเพื่อนทุกคนที่ช่วยให้เกิดความผ่อนคลายและช่วยในการเรียนที่ดีตลอดมา

สถาบันวิทยบริการ จุฬาลงกรณ์มหาวิทยาลัย

สารบัญ

บทที่

หน้า

บทคัดย่อภาษาไทย.....	๑
บทคัดย่อภาษาอังกฤษ.....	๑
กติกากรรมปัจจุบัน.....	๒
สารบัญ.....	๓
สารบัญตาราง.....	๔
สารบัญภาพ.....	๕

บทที่ 1 บทนำ

1.1 งานบริจัยในอดีต.....	2
1.2 วัตถุประสงค์.....	6
1.3 ขอบเขตการศึกษา.....	7
1.4 ประโยชน์ที่ได้รับ.....	7

บทที่ 2 การวิเคราะห์โครงสร้างภายใต้แรงแผ่นดินไหว

2.1 สมการการเคลื่อนที่ของโครงสร้างภายใต้แรงแผ่นดินไหว.....	8
2.1.1 โครงสร้างที่มีพฤติกรรมช่วงยึดหยุ่น.....	9
2.1.2 โครงสร้างที่มีพฤติกรรมช่วงไม่ยึดหยุ่น.....	10
2.2 การวิเคราะห์โครงสร้างที่ติดตั้งมวลหน่วงปรับค่า.....	14
2.3 ตัวนีความเสียหาย (Damage Index).....	16

บทที่ 3 แบบจำลองโครงสร้างคอนกรีตเสริมเหล็กและการวิเคราะห์ความเสียหาย

3.1 การวิเคราะห์โมเมนต์ดัดและความโค้งของหน้าตัดขึ้นส่วนของคอนกรีตเสริมเหล็ก.....	18
3.1.1 ความสัมพันธ์ระหว่างความเด่นกับความเครียดของคอนกรีต.....	19
3.1.1.1 คอนกรีตที่อยู่ภายใต้แรงอักเสบกล่อง (Unconfined concrete).....	19
3.1.1.2 คอนกรีตที่อยู่ภายใต้แรงในเหล็กกล่อง (Confined concrete).....	20
3.1.2 ความสัมพันธ์ระหว่างความเด่นกับความเครียดของเหล็กเสริมตามยาว.....	22
3.2 แบบจำลองโครงสร้างที่มีพฤติกรรมช่วงไม่ยึดหยุ่น	
3.2.1 การจำลองเสา, คาน และผนัง และการสร้างสมการรูปเมตริกซ์ของสติฟเนส.....	28
3.2.2 การคำนวณค่าความสัมพันธ์โมเมนต์และความโค้ง (Moment-curvature relationship) ของหน้าตัด จากโปรแกรม IDARC.....	32

สารบัญ (ต่อ)

บทที่	หน้า
3.2.3 แบบจำลองการกระจายพฤติกรรมแบบพลาสติกขององค์อาคาร (Spread plasticity model).....	34
3.2.4 แบบจำลองการเกิดการแตก (Yield penetration model).....	36
3.2.5 พฤติกรรมของโครงสร้างในช่วงไม่มีดินหยุ่น.....	36
3.2.6 วิธีการวิเคราะห์ด้วยโปรแกรมคอมพิวเตอร์ IDARC2D v. 4.0.....	39
3.3 การวิเคราะห์ความเสียหาย (Damage analysis).....	41
 บทที่ 4 อาคารตัวอย่างที่ใช้ในงานวิจัย	
4.1 อาคารตัวอย่าง.....	43
4.2 การจำลองอาคารตัวอย่างเพื่อใช้ในการวิเคราะห์.....	46
4.2.1 การจำลองอาคารตัวอย่าง.....	46
4.2.2 แบบจำลองไฮสเทอเรติก (Hysteretic model).....	47
4.3 การจำลองมวลหน่วงปรับค่าติดตั้งไว้ที่รั้มนบนของอาคารตัวอย่าง.....	47
4.4 คลื่นแผ่นดินไหวที่ใช้ในการศึกษา.....	50
 บทที่ 5 พฤติกรรมของอาคารตัวอย่างภายใต้แผ่นดินไหว	
5.1 พฤติกรรมและรูปแบบความเสียหายของอาคารตัวอย่างภายใต้ การวิเคราะห์โดยใช้แรงดันด้านข้าง.....	53
5.2 พฤติกรรมและรูปแบบความเสียหายของอาคารตัวอย่างภายใต้แผ่นดินไหว.....	63
5.2.1 อาคารตัวอย่างภายใต้แผ่นดินไหวขนาด 0.001 เท่าของความเร่ง เนื่องจากแรงโน้มถ่วงของโลก.....	63
5.2.2 อาคารตัวอย่างภายใต้แผ่นดินไหวขนาด 0.010 เท่าของความเร่ง เนื่องจากแรงโน้มถ่วงของโลก.....	65
5.2.3 อาคารตัวอย่างภายใต้แผ่นดินไหวขนาด 0.050 เท่าของความเร่ง เนื่องจากแรงโน้มถ่วงของโลก.....	66
5.2.4 อาคารตัวอย่างภายใต้แผ่นดินไหวขนาด 0.098 เท่าของความเร่ง เนื่องจากแรงโน้มถ่วงของโลก.....	67
5.2.5 อาคารตัวอย่างภายใต้แผ่นดินไหวขนาด 0.2 เท่าของความเร่ง เนื่องจากแรงโน้มถ่วงของโลก.....	70

สารบัญ (ต่อ)

บทที่	หน้า
บทที่ 6 การปรับปรุงการตอบสนองของอาการตัวอย่างภาษาไทยแผ่นดินไหว ด้วยมวลหน่วงปรับค่า	
6.1 พฤติกรรมของอาการตัวอย่างภาษาไทยแผ่นดินไหว.....	76
6.1.1 อาการตัวอย่างภาษาไทยแผ่นดินไหวขนาด 0.001 เท่าของความเร่ง เนื่องจากแรงโน้มถ่วงของโลก.....	76
6.1.2 อาการตัวอย่างภาษาไทยแผ่นดินไหวขนาด 0.01 เท่าของความเร่ง เนื่องจากแรงโน้มถ่วงของโลก.....	78
6.1.3 อาการตัวอย่างภาษาไทยแผ่นดินไหวขนาด 0.05 เท่าของความเร่ง เนื่องจากแรงโน้มถ่วงของโลก.....	79
6.1.4 อาการตัวอย่างภาษาไทยแผ่นดินไหวขนาด 0.098 เท่าของความเร่ง เนื่องจากแรงโน้มถ่วงของโลก.....	81
6.1.5 อาการตัวอย่างภาษาไทยแผ่นดินไหวขนาด 0.2 เท่าของความเร่ง เนื่องจากแรงโน้มถ่วงของโลก.....	84
บทที่ 7 ยกไปรายและวิเคราะห์ผล	
7.1 การวิเคราะห์ภาษาไทยแผ่นดินไหวกับการดันด้วยแรงด้านข้างแบบสกิด.....	91
7.2 การเปลี่ยนตำแหน่งของอาการตัวอย่างภาษาไทยแผ่นดินไหว.....	95
7.3 รูปแบบความเสียหายและค่าความเสียหายของอาการภาษาไทยแผ่นดินไหว.....	97
7.4 ประสิทธิภาพของมวลหน่วงปรับค่าในการลดการตอบสนองของอาการ.....	99
บทที่ 8 สุปผลและข้อเสนอแนะ	
8.1 สุปผล.....	105
8.2 ข้อเสนอแนะ	106
รายงานข้างต้น.....	108
ภาคผนวก.....	111
ประวัติผู้วิจัย.....	134

สารบัญตาราง

ตาราง	หน้า
ตารางที่ 4.1 คุณสมบัติของอิสเทอเรติกที่ใช้ในการวิเคราะห์.....	47
ตารางที่ 5.1 การเปลี่ยนตำแหน่งสูงสุดที่ชั้น 20 ภายใต้แผ่นดินไหว.....	73
ตารางที่ 5.2 การเปลี่ยนตำแหน่งสัมพัทธ์ระหว่างชั้นสูงสุด (Maximum Story Drift) ของอาคารตัวอย่างภายใต้คลื่น SCT-85.....	74
ตารางที่ 5.3 การเปลี่ยนตำแหน่งสัมพัทธ์ระหว่างชั้นสูงสุด (Maximum Story Drift) ของอาคารตัวอย่างภายใต้คลื่น BYK-95.....	75
ตารางที่ 6.1 การเปลี่ยนตำแหน่งสูงสุดที่ชั้น 20 ภายใต้แผ่นดินไหว เปรียบเทียบกรณีไม่มีและมีมวลหน่วงปรับค่า.....	87
ตารางที่ 6.2 การเปลี่ยนตำแหน่งสัมพัทธ์ระหว่างชั้นสูงสุด (Maximum Story Drift) ของอาคารตัวอย่าง ภายใต้คลื่น SCT-85 เปรียบเทียบกรณีไม่มีและมีมวลหน่วงปรับค่า.....	88
ตารางที่ 6.3 การเปลี่ยนตำแหน่งสัมพัทธ์ระหว่างชั้นสูงสุด (Maximum Story Drift) ของอาคารตัวอย่างภายใต้คลื่น BYK-95 เปรียบเทียบกรณีไม่มีและมีมวลหน่วงปรับค่า.....	89
ตารางที่ 7.1 การเปลี่ยนตำแหน่งที่ชั้น 20 ของอาคารตัวอย่าง.....	90

สถาบันวิทยบริการ
จุฬาลงกรณ์มหาวิทยาลัย

สารบัญภาพ

ภาพประกอบ

หน้า

รูปที่ 1.1 ลักษณะการเสริมเหล็กรับแรงดึงในงาน.....	2
รูปที่ 2.1(ก) โครงสร้างรับแรงแผ่นดินไหว.....	8
รูปที่ 2.1(ข) สมดุลของแรง.....	8
รูปที่ 2.2 ความสัมพันธ์ของการเคลื่อนที่ทั้งหมดกับการเคลื่อนที่ของพื้นดิน และการเคลื่อนที่สัมพัทธ์.....	10
รูปที่ 2.3(ก) โครงสร้างที่มีพฤติกรรมอยู่ในช่วงยึดหยุ่น.....	10
รูปที่ 2.3(ข) โครงสร้างที่มีพฤติกรรมอยู่ในช่วงไม่ยึดหยุ่น.....	10
รูปที่ 2.4 แรงและการเปลี่ยนตำแหน่งสำหรับโครงสร้างที่มีพฤติกรรมแบบยึดหยุ่นและไม่ยึดหยุ่น.....	12
รูปที่ 2.5 ความสัมพันธ์ระหว่างแรงกับการเปลี่ยนตำแหน่ง.....	13
รูปที่ 2.6 พฤติกรรมของโครงสร้างภายใต้แรงกระทำแบบเป็นรากจักร.....	13
รูปที่ 2.7 ความสัมพันธ์ระหว่างโน้มเนตและความโถงของหน้าตัด.....	14
รูปที่ 2.8 โครงข้อแข็งพอร์ทอลที่ติดตั้งมวลหน่วงปรับค่าให้รีทีชันบัน.....	14
รูปที่ 2.9 สมประสงค์ที่ใช้ขยายการตอบสนองกับตรวจสอบความถี่ของแรงกับโครงสร้าง.....	15
รูปที่ 3.1 ความสัมพันธ์ระหว่างความเด่นกับความเครียดสำหรับคอนกรีตที่ไม่มีผลของเหล็กปลอก.....	19
รูปที่ 3.2 ความสัมพันธ์ระหว่างความเด่นกับความเครียดสำหรับคอนกรีตที่ติดผลของเหล็กปลอก.....	20
รูปที่ 3.3 ความสัมพันธ์ระหว่างความเด่นกับความเครียดสำหรับเหล็กเสริมตามยาว.....	22
รูปที่ 3.4 ขั้นตอนการคำนวณหาค่าโน้มเนตและความโถง.....	23
รูปที่ 3.5 ขั้นตอนการคำนวณค่าแรงดึงขัดในคอนกรีตที่อยู่ภายนอกเหล็กปลอก(Unconfined concrete).....	24
รูปที่ 3.6 ขั้นตอนการคำนวณค่าแรงดึงขัดในคอนกรีตที่อยู่ภายในเหล็กปลอก(Confined concrete).....	25
รูปที่ 3.7 ขั้นตอนการคำนวณค่าแรงดึงในคอนกรีต.....	26
รูปที่ 3.8 ขั้นตอนการคำนวณค่าแรงดึงในเหล็กเสริมตามยาว.....	27
รูปที่ 3.9(ก) ตีก๊อปของความอิสระสำหรับเสา.....	29
รูปที่ 3.9(ข) ตีก๊อปของความอิสระสำหรับคน.....	29
รูปที่ 3.9(ค) ตีก๊อปของความอิสระสำหรับผัง.....	29
รูปที่ 3.10 หน้าตัดคอนกรีตเสริมเหล็กสำหรับการวิเคราะห์นาโนเมต์และความโถง โดยวิธีแบ่งเป็นส่วนย่อย.....	32
รูปที่ 3.11 ความสัมพันธ์ระหว่างความเด่นกับความเครียดสำหรับคอนกรีต โดยไม่คำนึงถึงผลของเหล็กปลอก.....	33
รูปที่ 3.12 การกระจายความโถงของขั้นส่วน (Curvature distribution).....	34
รูปที่ 3.13 แบบจำลองการกระจายพลาสติก (Spread plasticity model).....	35
รูปที่ 3.14 ความยาวระยะคราก (Yield penetration length) สำหรับขั้นส่วน ที่มีพฤติกรรมเป็นแบบไม่ยึดหยุ่นตลอดชั้นส่วน.....	35

สารบัญภาพ (ต่อ)

ภาพประกอบ

หน้า

รูปที่ 3.15 แบบจำลองพฤติกรรมช่วงไม้ยืดหยุ่น (Hysteretic model).....	37
รูปที่ 4.1 รูปแผนและรูปด้านหน้าของอาคารตัวอย่าง.....	44
รูปที่ 4.2 รายละเอียดเหล็กเสริมในส่วนของอาคารตัวอย่าง.....	46
รูปที่ 4.3 การติดตั้งมวลน้ำหนักบนโครงสร้างของอาคารตัวอย่าง.....	48
รูปที่ 4.4 ค่ารากที่สองของค่าเฉลี่ยกำลังสองของการเปลี่ยนตำแหน่งชั้น 20 กับค่าสมประสิทธิ์ความหน่วง.....	49
รูปที่ 4.5 ค่ารากที่สองของค่าเฉลี่ยกำลังสองของการเปลี่ยนตำแหน่งชั้น 21 กับค่าสมประสิทธิ์ความหน่วง.....	49
รูปที่ 4.6 การเปลี่ยนตำแหน่งที่ชั้น 20 ภายใต้แรงกระทำที่ฐานรากไป.....	49
รูปที่ 4.7 การเปลี่ยนตำแหน่งของมวลน้ำหนักบนปรับค่าเทียบกับโครงสร้างภายใต้แรงกระทำที่ฐานรากไป.....	50
รูปที่ 4.8 คลื่นแผ่นดินไหวที่วัดได้ที่กรุงเม็กซิโก ปี 1985 (SCT-85 S00E).....	50
รูปที่ 4.9 คลื่นแผ่นดินไหวที่วัดได้ที่ฐานอาคารในไทย 1 ปี 1995 (BYK-95).....	51
รูปที่ 4.10 ความถี่ของคลื่น SCT-85 S00E.....	51
รูปที่ 4.11 ความถี่ของคลื่น BYK-95.....	52
รูปที่ 5.1 แรงกระทำด้านข้างภายใต้การวิเคราะห์แบบสถิติ.....	53
รูปที่ 5.2 สมประสิทธิ์แรงเฉือนที่ฐานกับการเปลี่ยนตำแหน่งที่ชั้น 20 ภายใต้การตันด้วยแรงด้านข้างแบบสถิติ.....	54
รูปที่ 5.3 (ก) การเปลี่ยนตำแหน่งของอาคารตัวอย่างภายใต้การตันด้วยแรงด้านข้างแบบสถิติ ณ จุด A (รูปที่ 5.2) การเปลี่ยนตำแหน่งที่ชั้น 20 มีค่า 0.22% ของความสูงทั้งหมด.....	54
รูปที่ 5.3 (ข) การเปลี่ยนตำแหน่งของอาคารตัวอย่างภายใต้การตันด้วยแรงด้านข้างแบบสถิติ ณ จุด B (รูปที่ 5.2) การเปลี่ยนตำแหน่งที่ชั้น 20 มีค่า 2.11% ของความสูงทั้งหมด.....	55
รูปที่ 5.4 รูปแบบความเสียหายภายใต้การตันด้วยแรงด้านข้าง ที่อัตราส่วนการเปลี่ยนตำแหน่งชั้น 20 กับความสูงอาคารตัวอย่าง.....	61
รูปที่ 5.5 ค่าความเสียหายของชั้นส่วนในอาคารตัวอย่าง ภายใต้การตันด้วยแรงด้านข้าง.....	62
รูปที่ 5.6(ก) การเปลี่ยนตำแหน่งที่ชั้น 20 ของอาคารตัวอย่างภายใต้ SCT-85 ขนาด 0.001g.....	63
รูปที่ 5.6(ข) การเปลี่ยนตำแหน่งที่ชั้น 20 ของอาคารตัวอย่าง ภายใต้ BYK-95 ขนาด 0.001g.....	64
รูปที่ 5.7 การเปลี่ยนตำแหน่งสูงสุดของอาคารตัวอย่าง ภายใต้ SCT-85 ขนาด 0.001g.....	64
รูปที่ 5.8 การเปลี่ยนตำแหน่งสูงสุดของอาคารตัวอย่าง ภายใต้ BYK-95 ขนาด 0.001g.....	64
รูปที่ 5.9 ความเสียหายที่เกิดขึ้นกับอาคารตัวอย่าง ภายใต้แผ่นดินไหวขนาด 0.01 เท่าของความเร่งเนื่องจากแรงโน้มถ่วง.....	65
รูปที่ 5.10 ความเสียหายที่เกิดขึ้นกับอาคารตัวอย่าง ภายใต้แผ่นดินไหวขนาด 0.05 เท่าของความเร่งเนื่องจากแรงโน้มถ่วง.....	67
รูปที่ 5.11(ก) การเปลี่ยนตำแหน่งที่ชั้น 20 ของอาคารตัวอย่าง ภายใต้ SCT-85 ขนาด 0.098g.....	68

สารบัญภาพ (ต่อ)

ภาพประกอบ

หน้า

รูปที่ 5.11(ข) การเปลี่ยนตำแหน่งที่ชั้น 20 ของอาคารตัวอย่าง

ภายในได้ BYK-95 ขนาด 0.098g	69
รูปที่ 5.12 การตอบสนองของอาคารตัวอย่างภายใต้ SCT-85 0.098g	69
รูปที่ 5.13 การตอบสนองของอาคารตัวอย่างภายใต้ BYK-95 0.098g	69
รูปที่ 5.14 ความเสียหายที่เกิดขึ้นกับอาคารตัวอย่าง	
ภายในได้แผ่นดินไหวขนาด 0.098 เท่าของความเร่งเนื่องจากแรงโน้มถ่วง	70
รูปที่ 5.15(ก) การเปลี่ยนตำแหน่งที่ชั้น 20 ของอาคารตัวอย่างภายใต้ SCT-85 ขนาด 0.2g	71
รูปที่ 5.15(ข) การเปลี่ยนตำแหน่งที่ชั้น 20 ของอาคารตัวอย่างภายใต้ BYK-95 ขนาด 0.2g	72
รูปที่ 5.16 ความเสียหายที่เกิดขึ้นกับอาคารตัวอย่าง	
ภายในได้แผ่นดินไหวขนาด 0.2 เท่าของความเร่งเนื่องจากแรงโน้มถ่วง	72
รูปที่ 6.1(ก) การเปลี่ยนตำแหน่งที่ชั้น 20 ของอาคารตัวอย่าง	
ภายในได้ SCT-85 ขนาด 0.001g เปรียบเทียบกรณีไม่มีและมีมวลหน่วงปรับค่า	76
รูปที่ 6.1(ข) การเปลี่ยนตำแหน่งที่ชั้น 20 ของอาคารตัวอย่าง	
ภายในได้ BYK-95 ขนาด 0.001g เปรียบเทียบกรณีไม่มีและมีมวลหน่วงปรับค่า	77
รูปที่ 6.2 การเปลี่ยนตำแหน่งสูงสุดของอาคารตัวอย่าง	
ภายในได้ SCT-85 ขนาด 0.001g เปรียบเทียบกรณีไม่มีและมีมวลหน่วงปรับค่า	77
รูปที่ 6.3 การเปลี่ยนตำแหน่งสูงสุดของอาคารตัวอย่าง	
ภายในได้ BYK-95 ขนาด 0.001g เปรียบเทียบกรณีไม่มีและมีมวลหน่วงปรับค่า	77
รูปที่ 6.4 ความเสียหายที่เกิดขึ้นกับอาคารตัวอย่างที่มีมวลหน่วงปรับค่า	
ภายในได้แผ่นดินไหวขนาด 0.01 เท่าของความเร่งเนื่องจากแรงโน้มถ่วง	78
รูปที่ 6.5(ก) การเปลี่ยนตำแหน่งที่ชั้น 20 ของอาคารตัวอย่าง	
ภายในได้ SCT-85 ขนาด 0.05g เปรียบเทียบกรณีไม่มีและมีมวลหน่วงปรับค่า	80
รูปที่ 6.5(ข) การเปลี่ยนตำแหน่งที่ชั้น 20 ของอาคารตัวอย่าง	
ภายในได้ BYK-95 ขนาด 0.05g เปรียบเทียบกรณีไม่มีและมีมวลหน่วงปรับค่า	80
รูปที่ 6.6 การเปลี่ยนตำแหน่งสูงสุดของอาคารตัวอย่าง	
ภายในได้ SCT-85 ขนาด 0.05g เปรียบเทียบกรณีไม่มีและมีมวลหน่วงปรับค่า	80
รูปที่ 6.7 ความเสียหายที่เกิดขึ้นกับอาคารตัวอย่างที่มีมวลหน่วงปรับค่า	
ภายในได้แผ่นดินไหวขนาด 0.05 เท่าของความเร่งเนื่องจากแรงโน้มถ่วง	81
รูปที่ 6.8(ก) การเปลี่ยนตำแหน่งที่ชั้น 20 ของอาคารตัวอย่าง	
ภายในได้ SCT-85 ขนาด 0.098g เปรียบเทียบกรณีไม่มีและมีมวลหน่วงปรับค่า	82
รูปที่ 6.8(ข) การเปลี่ยนตำแหน่งที่ชั้น 20 ของอาคารตัวอย่าง	
ภายในได้ BYK-95 ขนาด 0.098g เปรียบเทียบกรณีไม่มีและมีมวลหน่วงปรับค่า	82

สารบัญภาพ (ต่อ)

ภาพประกอบ

หน้า

รูปที่ 6.9 การเปลี่ยนตำแหน่งสูงสุดของอาคารตัวอย่าง ภายใต้ SCT-85 ขนาด 0.098g เปรียบเทียบกรณีไม่มีและมีมวลหน่วงปรับค่า.....	82
รูปที่ 6.10 การเปลี่ยนตำแหน่งสูงสุดของอาคารตัวอย่าง ภายใต้ BYK-95 ขนาด 0.098g เปรียบเทียบกรณีไม่มีและมีมวลหน่วงปรับค่า.....	83
รูปที่ 6.11 ความเสียหายที่เกิดขึ้นกับอาคารตัวอย่างที่มีมวลหน่วงปรับค่า ภายใต้แผ่นดินไหวขนาด 0.098 เหตุของความเร่งเนื่องจากแรงโน้มถ่วง.....	83
รูปที่ 6.12(ก) การเปลี่ยนตำแหน่งที่ชั้น 20 ของอาคารตัวอย่าง ภายใต้ SCT-85 ขนาด 0.2g เปรียบเทียบกรณีไม่มีและมีมวลหน่วงปรับค่า.....	84
รูปที่ 6.12(ข) การเปลี่ยนตำแหน่งที่ชั้น 20 ของอาคารตัวอย่าง ภายใต้ BYK-95 ขนาด 0.2g เปรียบเทียบกรณีไม่มีและมีมวลหน่วงปรับค่า.....	84
รูปที่ 6.13 ความเสียหายที่เกิดขึ้นกับอาคารตัวอย่างที่มีมวลหน่วงปรับค่า ภายใต้แผ่นดินไหวขนาด 0.2 เหตุของความเร่งเนื่องจากแรงโน้มถ่วง.....	85
รูปที่ 6.14 ค่าความเสียหายของอาคารตัวอย่างภายใต้แผ่นดินไหว.....	86
รูปที่ 7.1 การเปลี่ยนตำแหน่งที่ชั้นต่างๆ จากการวิเคราะห์ด้วยแรงแผ่นดินไหวขนาด 0.01 เหตุ ของความเร่งเนื่องจากแรงโน้มถ่วงโลก และการวิเคราะห์แบบสถิต.....	91
รูปที่ 7.2 การเปลี่ยนตำแหน่งที่ชั้นต่างๆ จากการวิเคราะห์ด้วยแรงแผ่นดินไหวขนาด 0.1 เหตุ ของความเร่งเนื่องจากแรงโน้มถ่วงโลก และการวิเคราะห์แบบสถิต.....	92
รูปที่ 7.3 ค่าความเสียหายจากการเปลี่ยนตำแหน่งสูงสุดภายใต้คลื่นแผ่นดินไหว SCT-85.....	93
รูปที่ 7.4 ค่าความเสียหายจากการเปลี่ยนตำแหน่งสูงสุดภายใต้คลื่นแผ่นดินไหว BYK-95.....	93
รูปที่ 7.5 การกระจายโมเมนต์ในชั้นส่วน.....	94
รูปที่ 7.6 พฤติกรรมการรับแรงด้านข้างของโครงสร้างกับผัง.....	96
รูปที่ 7.7 การกระจายโมเมนต์ในชั้นส่วนแนวตั้ง.....	98
รูปที่ 7.8 อัตราส่วนการเปลี่ยนตำแหน่งสูงสุดที่ชั้น 20 ของอาคารตัวอย่างภายใต้คลื่นแผ่นดินไหว.....	100
รูปที่ 7.9 อัตราส่วนต่ำรากที่สองของค่าเฉลี่ยกำลังสองของการเปลี่ยนตำแหน่ง (Root mean square of displacement) ของอาคารตัวอย่างภายใต้คลื่นแผ่นดินไหว.....	101
รูปที่ 7.10 ความเสียหายของอาคารตัวอย่างภายใต้คลื่นแผ่นดินไหว.....	102
รูปที่ 7.11 การเปลี่ยนตำแหน่งที่ชั้น 20 กับการเปลี่ยนตำแหน่งสัมพัทธ์ของมวลหน่วงปรับค่า ภายใต้ SCT-85.....	103